

С. В. ГЕРЕЙ, Э. В. РОЖКОВА, Я. Б. ГОРОХОВАТСКИЙ

ИЗУЧЕНИЕ ХЕМОСОРБЦИИ БУТЕНОВ НА ЗАКИСНОМЕДНОМ  
КАТАЛИЗАТОРЕ МЕТОДОМ И.-К. СПЕКТРОСКОПИИ

(Представлено академиком Г. К. Боресковым 3 V 1971)

Известно, что закисномедный катализатор обладает различной избирательностью в отношении окисления бутена-1 в метилвинилкетон и изобутилена в метилакролеин (<sup>1</sup>, <sup>2</sup>). Для выяснения причин, обуславливающих это различие, мы исследовали хемосорбцию реагирующих газов на закиси меди методом и.-к. спектроскопии.

Образец катализатора готовился растиранием аэросила ( $S_{уд} = 380 \text{ м}^2/\text{г}$ ) с 6 вес. %  $\text{Cu}_2\text{O}$ , полученной по методике (<sup>2</sup>), с последующим прессованием 40 мг полученной смеси при  $P = 7 \text{ т}/\text{см}^2$  в пластинки размером  $6 \times 25 \text{ мм}$ . Удельная поверхность  $\text{Cu}_2\text{O}$  в готовом образце составляла  $50 \text{ м}^2/\text{г}$ , его пропускание в области  $\text{NaCl}$  35—40 %. Образец тренировался в условиях, аналогичных (<sup>3</sup>). Спектры записывались на приборе ИКС-14 при температуре образца 30—35°. Спектральная ширина щели составляла  $7 \text{ см}^{-1}$ . Воспроизводимость результатов  $\pm 2 \text{ см}^{-1}$ .

В спектре адсорбированного  $\text{C}_4\text{H}_8\text{-1}$  (рис. 1б) наблюдаются следующие изменения по сравнению со спектром газообразного олефина (рис. 1а): частота валентного колебания  $\text{C}=\text{C}$ -связи  $1654 \text{ см}^{-1}$  смешена в сторону меньших частот на  $20 \text{ см}^{-1}$ ; в области валентных колебаний  $\text{CH}$ -связей на полосе поглощения  $\text{CH}_3$  ( $2971 \text{ см}^{-1}$ ) появляется при  $2944$ — $2930 \text{ см}^{-1}$  малоинтенсивное плечо, при этом сама частота  $\nu_{\text{CH}_3}$  в адсорбированных молекулах мало отличается от соответствующей частоты в спектре газообразного  $\text{C}_4\text{H}_8\text{-1}$ . Соответствующая частота в области деформационных колебаний  $\text{CH}$  наблюдается в виде широкой размытой полосы с высокочастотным краем при  $1460 \text{ см}^{-1}$  ( $\delta_{as}\text{CH}_3$ ).

При впуске кислорода в кювету с  $\text{C}_4\text{H}_8\text{-1}$ , так же как и при адсорбции смеси олефина с  $\text{O}_2$  (1:1) (рис. 1в), полоса поглощения при  $2944$ — $2930 \text{ см}^{-1}$  смещается до  $2920 \text{ см}^{-1}$ , при этом ее интенсивность увеличивается; широкая полоса  $\delta_{as}\text{CH}_3$  раздваивается на полосы  $1460$  и  $1442 \text{ см}^{-1}$ .

Кроме этого, в области  $1700 \text{ см}^{-1}$  в спектре появляется малоинтенсивная двугорбая полоса поглощения при  $1706$  и  $1692 \text{ см}^{-1}$ ; их интенсивность в присутствии  $\text{O}_2$  увеличивается. Из спектров ацетальдегида и акролеина, адсорбированных на  $\text{Cu}_2\text{O}$  (рис. 1д, е), следует, что эти частоты в спектре хемосорбированного  $\text{C}_4\text{H}_8\text{-1}$  принадлежат колебаниям  $\text{C}=\text{O}$ -групп указанных карбонильных соединений. После хемосорбции смеси  $\text{C}_4\text{H}_8\text{-1}$  и  $\text{O}_2$  при  $300^\circ$  и откачки газовой фазы в спектре  $\text{Cu}_2\text{O}$  (рис. 1ж) наблюдаются полосы поглощения, частоты которых близки к наблюдаемым частотам в спектре необратимо хемосорбированного метилвинилкетона (рис. 3).

Полученные результаты свидетельствуют о неоднородности поверхности  $\text{Cu}_2\text{O}$ . На энергетически более активных участках уже при комнатной температуре хемосорбированный  $\text{C}_4\text{H}_8\text{-1}$  взаимодействует с хемосорбированным  $\text{O}_2$ , с образованием, по-видимому, ацетальдегида и акролеина (наличие хемосорбированного  $\text{O}_2$  на поверхности вполне вероятно, ибо по условиям (<sup>3</sup>) откачка  $\text{Cu}_2\text{O}$  производилась при  $100^\circ$ ). На менее активных участках  $\text{C}_4\text{H}_8\text{-1}$  хемосорбируется обратимо, при этом прочность  $\text{C}=\text{C}$ -связи, а под влиянием  $\text{O}_2$  также и прочность  $\text{CH}$ -связей в метиленовых группах

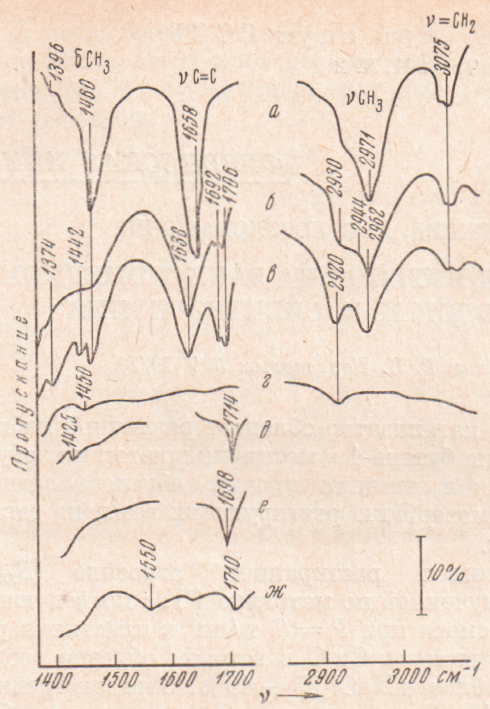


Рис. 1. Адсорбция  $C_4H_8\text{-}1$  на  $Cu_2O / SiO_2$ .  
а — газ; б —  $Cu_2O + C_4H_8\text{-}1$ ,  $20^\circ$ ,  $P = 10$  мм рт. ст.; в —  $Cu_2O / SiO_2 + C_4H_8\text{-}1 + O_2$ ,  $20^\circ$ ,  $P = 20$  мм рт. ст.; г — после откачки газов при  $20^\circ$ ; д —  $Cu_2O / SiO_2$  + ацеталдегид,  $20^\circ$ ,  $P = 5$  мм рт. ст.; е —  $Cu_2O / SiO_2$  + акролеин,  $20^\circ$ ,  $P = 5$  мм рт. ст.; ж —  $Cu_2O / SiO_2 + C_4H_8\text{-}1 + O_2$ ,  $300^\circ$ , газы откачаны

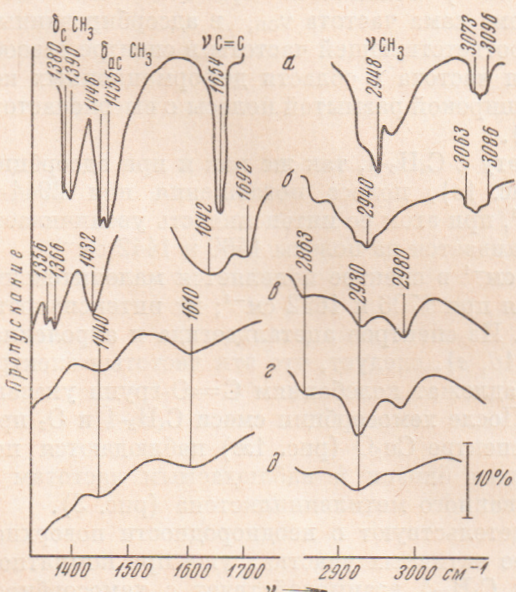


Рис. 2. Адсорбция изо- $C_4H_8$  на  $Cu_2O / SiO_2$ . а — изо- $C_4H_8$  газ; б —  $Cu_2O / SiO_2$  + изо- $C_4H_8$ ,  $20^\circ$ ,  $P = 10$  мм рт. ст.; в —  $Cu_2O / SiO_2$  + изо- $C_4H_8$ ,  $100^\circ$ ,  $300^\circ$ ,  $P = 10$  мм рт. ст., газы откачаны; г —  $Cu_2O / SiO_2$  + изо- $C_4H_8 + O_2$ ,  $300^\circ$ , газы откачаны

пах уменьшаются. Последнее доказывается появлением в спектре слабой полосы при  $2944$ — $2930$   $\text{cm}^{-1}$ , которую можно отнести к  $-\text{CH}_2-$  (<sup>5</sup>, <sup>6</sup>), ее смещением до  $2920$   $\text{cm}^{-1}$  и появлением частоты  $1442$   $\text{cm}^{-1}$  в области  $\delta \text{CH}$  в присутствии  $O_2$  (соответствующая частота  $\delta \text{CH}_2$  в газообразном  $C_4H_8\text{-}1$  равна  $1470$   $\text{cm}^{-1}$  (<sup>5</sup>)). Следует отметить, что влияние  $O_2$  на положение полос  $C=C$ ,  $\text{CH}_3$  и  $\text{CH}_2$  не замечено.

Эти данные с учетом сведений о небольших различиях в частотах колебания  $\text{CH}_3$ -групп в газообразном и хемосорбированном бутене-1 говорят в пользу представлений о хемосорбции олефина в виде  $\pi$ -комплекса на ионах  $Cu^+$ , из которого в условиях катализа образуется адсорбированное  $\pi$ -аллильное промежуточное поверхностное соединение, взаимодействующее с хемосорбированным  $O_2$  с образованием метилвинилкетона.

Наблюдаемые в спектре необратимо хемосорбированного  $C_4H_8\text{-}1$  малоинтенсивные полосы при  $2920$  и  $1450$   $\text{cm}^{-1}$  (рис. 1 $g$ ), не исчезающие при повышении температуры откачки до  $350$ — $400^\circ$ , можно отнести к колебанию полимерной структуры, состоящей в основном из  $-\text{CH}_2-$  групп (<sup>4</sup>).

Из сравнения спектров газообразного (рис. 2 $a$ ) и адсорбированного изо- $C_4H_8$  (рис. 2 $b$ ) следует, что величина полуширины полосы  $C=C$ -связи ( $1654$   $\text{cm}^{-1}$ ) в адсорбированном состоянии заметно увеличивается, а ее максимум смещается в сторону меньших значений на  $12$   $\text{cm}^{-1}$ . Частоты  $\nu_{as} \text{CH}_3$  ( $2948$   $\text{cm}^{-1}$ ),  $=\text{CH}_2$  ( $3073$ — $3096$   $\text{cm}^{-1}$ ),  $\delta_{as}$ ,  $\text{CH}$  ( $1446$ ,  $1455$   $\text{cm}^{-1}$ ) и  $\delta_s$  ( $1380$ ,  $1390$   $\text{cm}^{-1}$ ) в  $\text{CH}_3$ -группах, а также  $\delta=\text{C}(\text{CH}_3)_2$  ( $1380$   $\text{cm}^{-1}$  (<sup>7</sup>)) в адсорбированных молекулах также

уменьшены по сравнению с частотами в газообразных молекулах на 8, 10, 18 и 24 см<sup>-1</sup>. Все это свидетельствует об уменьшении прочности связей C=C и CH при адсорбции.

Кроме того, в спектре адсорбированного изо-C<sub>4</sub>H<sub>8</sub> (рис. 2б) присутствует полоса поглощения с частотой 1692 см<sup>-1</sup>, которая появляется в спектре адсорбированного метилакролеина (рис. 4б) и значение которой близко также к частоте в спектре адсорбированного акролеина (рис. 1е). Поэтому можно думать, что она соответствует одному из этих соединений, образующихся при адсорбции изо-C<sub>4</sub>H<sub>8</sub> на Cu<sub>2</sub>O при комнатной температуре.

После откачки газовой фазы в спектрах в области νCH колебаний (рис. 2в) присутствуют частоты при 2980, 2930 и 2863 см<sup>-1</sup>, а в области 1650—1300 см<sup>-1</sup> — размытые полосы с максимумами при 1610 и 1440 см<sup>-1</sup>. При адсорбции изо-C<sub>4</sub>H<sub>8</sub> при 100 и 300° в отсутствие O<sub>2</sub> и откачки газовой фазы эти полосы не исчезают из спектра, при этом интенсивность полосы поглощения при 2930 см<sup>-1</sup> увеличивается, а при 2980 см<sup>-1</sup> уменьшается. Повышение температуры не влияет на величину интенсивности полосы при 1610 и 1440 см<sup>-1</sup>. Первые из этих полос (в области валентных колебаний CH-связей) можно отнести к колебанию C—H в CH<sub>3</sub>- и CH<sub>2</sub>-группах (<sup>5, 6</sup>), относящихся, по-видимому, также к колебанию полимерных структур (<sup>4</sup>); полосу при 1610 см<sup>-1</sup> можно отнести к колебанию ν<sub>as</sub> карбоксилатного иона, а размытая полоса при 1440 см<sup>-1</sup> соответствует, очевидно, накладывающимся друг на друга частотам колебаний δ C—H и ν<sub>s</sub>—COO. Сравнение полученных результатов свидетельствует об одинаковом механизме обратимой хемосорбции обоих бутенов и позволяет предположить также идентичность их механизмов окисления на Cu<sub>2</sub>O путем превращения π-комплексов в π-аллильные поверхностные соединения и дальнейшего окисления последних. Поэтому различная избирательность Cu<sub>2</sub>O при окислении изобутена и n-бутина не может быть объяснена различиями адсорбции олефинов.

Для выяснения причины различной избирательности нами детально была изучена хемосорбция двух основных продуктов реакции — метилвинилкетона и метилакролеина — на Cu<sub>2</sub>O.

Из сравнения спектров газообразного (рис. 3а) и адсорбированного на Cu<sub>2</sub>O (рис. 3б, в) метилвинилкетона следует, что часть его молекул хемосорбируется в виде различных карбонатных и карбоксилатных прочно хемосорбированных поверхностных соединений (рис. 3в) с полосами поглощения после хемосорбции и откачки газовой фазы при комнатной температуре при 1712, 1641, 1555, 1500, 1460, 1424, 1403 и 1358 см<sup>-1</sup> (<sup>6</sup>), и при 1712, 1641 и 1555 см<sup>-1</sup> — после хемосорбции и откачки при 300° (рис. 3г). При этом интенсивность при 1712 см<sup>-1</sup> после непродолжительного контакта с O<sub>2</sub> в области 200—300° увеличивается, интенсивность остальных полос после отработки O<sub>2</sub> при 100—300° уменьшается, а в спектре газовой фазы появляется частота газообразного CO<sub>2</sub> (2350 см<sup>-1</sup>, рис. 3д). При обработке образца O<sub>2</sub> (2—3 часа) при 350° все полосы исчезают из спектра.

Из сравнения спектров газообразного (рис. 4а) и адсорбированного (рис. 4б, в) метилакролеина и из отсутствия в них полос поглощения в области 1500—1700 см<sup>-1</sup> следует, что, в отличие от метилвинилкетона, прочно хемосорбированные поверхностные соединения карбонатного и карбоксилатного типа не образуются при хемосорбции этого соединения на Cu<sub>2</sub>O при низких температурах (20—100°). Присутствующие в спектре (рис. 4в) полосы при 2935, 2820 и 1440 см<sup>-1</sup>, по-видимому, соответствуют необратимо хемосорбированным поверхностным соединениям полимерного типа (<sup>6</sup>).

После хемосорбции метилакролеина при 300° и откачки газовой фазы в спектре (рис. 4г) присутствуют полосы в области νCH (2872—2970 см<sup>-1</sup>) и малоинтенсивные частоты при 1610 (ν<sub>as</sub>—COO<sup>-</sup>), 1440—1400 (δCH, ν<sub>s</sub>—COO) и 1364 см<sup>-1</sup> (δCH), соответствующие необратимо хемосорбированным соединениям карбоксилатного и полимерного типа. При этом полосы при 1610 и 1400 см<sup>-1</sup> исчезают из спектра после не-

продолжительной обработки образца  $O_2$  при  $100-300^\circ$ , а остальные частоты удаляются из спектра только после 2–3 час. обработки образца при температурах выше  $300^\circ$ .

Полученные результаты показывают, что механизмы хемосорбции метилвинилкетона и метилакролеина существенно различаются. Основное

различие заключается в повышенной хемосорбционной способности метилвинилкетона с образованием промежуточных

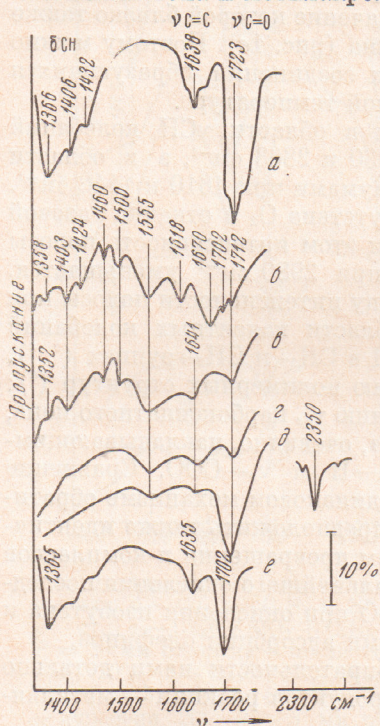


Рис. 3

Рис. 3. Адсорбция метилвинилкетона на  $Cu_2O / SiO_2$ . *a* — газ; *b* —  $Cu_2O / SiO_2 + MBK$ ,  $20^\circ$ ,  $P = 5$  мм рт. ст.; *c* — после откачки газа при  $20^\circ$ ; *d* — после откачки при  $300^\circ$ ; *e* —  $Cu_2O / SiO_2 + O_2$ ,  $100-300^\circ$ ,  $P = 10$  мм рт. ст., газы откачаны; *e* —  $SiO_2 + MBK$

Рис. 4. Адсорбция метилакролеина на  $Cu_2O / SiO_2$ . *a* — газ; *b* —  $Cu_2O / SiO_2 + MA$ ,  $20^\circ$ ,  $P = 5$  мм рт. ст.; *c* — после откачки MA при  $20^\circ$ ; *d* —  $Cu_2O / SiO_2 + MA$ ,  $300^\circ$ , газы откачаны, *d* — после обработки  $O_2$ ,  $300^\circ$ , 10 мин.

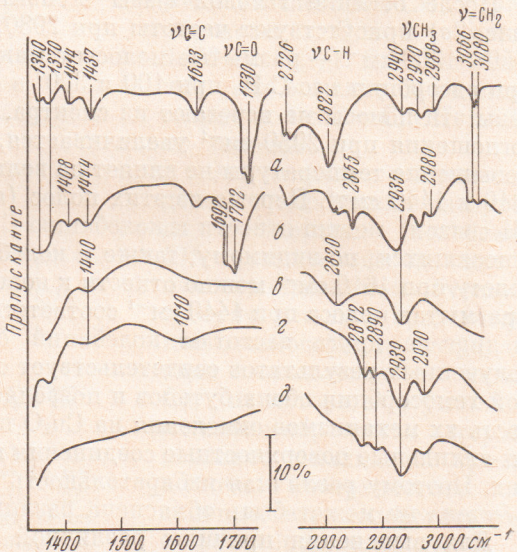


Рис. 4

поверхностных соединений карбонатного и карбоксилатного типа, окисляющихся при  $100-300^\circ$  в углекислый газ. В случае метилакролеина эта тенденция выражена в меньшей степени. Следовательно, низкая избирательность  $Cu_2O$  в отношении окисления  $C_4H_8-1$  в метилвинилкетон обусловлена значительным доокислением последнего в  $CO_2$ , тогда как метилакролеин доокислению почти не подвергается. Этот вывод хорошо соглашается с литературными данными по изучению кинетики окисления бутенов на закисномедном катализаторе (<sup>1, 2</sup>).

Институт физической химии  
им. Л. В. Писаржевского  
Академии наук УССР  
Киев

Поступило  
3 V 1971

#### ЦИТИРОВАННАЯ ЛИТЕРАТУРА

- <sup>1</sup> М. Я. Рубаник, Я. Б. Гороховатский, Неполное катализитическое окисление олефинов, Киев, 1965.
- <sup>2</sup> Е. Н. Попова, Я. Б. Гороховатский, Э. В. Рожкова, Укр. хим. журн., 31, 10 (1965).
- <sup>3</sup> Э. В. Рожкова, С. В. Герей, Я. Б. Гороховатский, ДАН, 181, № 1 (1968).
- <sup>4</sup> L. H. Little, J. Phys. Chem., 63, 1616 (1959).
- <sup>5</sup> Л. Беллами, Инфракрасные спектры сложных молекул, ИЛ, 1963.
- <sup>6</sup> Л. Литтл, Инфракрасные спектры адсорбированных молекул, М., 1969.
- <sup>7</sup> К. В. Нельсон, Спектры комбинационного расстояния низкомолекулярных форм и строение поливинилидена, Сборн. Колебательные спектры и молекулярные процессы в каучуках, М.—Л., 1965, стр. 58.